

Analiza antropologică a unui schelet din prima epocă a fierului de la Saharna (Rep. Moldova)

Mihai CONSTANTINESCU*

Abstract: Recent archaeological researches in the eastern side of the Iron Age settlement from Saharna-Dealul Mănăstirii identified a pit with a wooden structure inside it, in which a skeleton belonging to a 35-45 years old male individual was placed. The skeleton has a healed fracture of the right radius and a deformation of the distal epiphysis of the right ulna as a result of the joint use after the trauma occurred. The frontal bone shows radiating fractures and the absence of a portion of the bone. This is either the result of a blunt force trauma, or the collapse of the wooden structure after an indefinite period of time following the deposition of the skeleton. The skeletal pathology indicates an individual that carried out intense physical activity throughout his life.

Rezumat: Cercetările recente de la Saharna-Dealul Mănăstirii au identificat în partea de est a așezării, într-o groapă cu o construcție din lemn, în interiorul său, un schelet aparținând unui individ de sex masculin, cu o vârstă la deces de 35-45 de ani. Scheletul prezintă o fractură vindecată a radius-ului drept și o deformare a epifizei distale a cubitus-ului corespunzător rezultat al utilizării articulației după producerea traumatismului. De asemenea, frontalul prezintă fracturi radiante și lipsa unei porțiuni a osului, rezultat al unei lovituri cu un obiect contondent, produsă peri-mortem, sau a prăbușirii construcției funerare la o perioadă de timp nedeterminată după depunerea individului. Elementele de patologie osoasă indică un individ care a depus activități fizice intense de-a lungul vieții.

Keywords: Hallstatt, Saharna, fracture, trauma.

Cuvinte cheie: Hallstatt, Saharna, fractură, traume.

◆ Introducere

Scheletul analizat provine din complexul 32, groapa 24, descoperit în așezarea de epocă fierului de la Saharna-Dealul Mănăstirii, complex dispus în partea de est a așezării. Prezența unor descoperiri de oase umane în cadrul așezării menționate nu este singulară, un alt schelet și un craniu fără mandibulă fiind identificate anterior, fără a beneficia de o analiză antropologică (I. Niculiță, A. Niciu 2011, p. 225-226; I. Niculiță, A. Niciu 2013, p. 174). Prezența acestui schelet în așezarea de la Saharna-Dealul Mănăstirii este cu atât mai interesantă cu cât provine dintr-un complex arheologic special din punct de vedere al construcției și inventarului (I. Niculiță, A. Niciu 2011, p. 225-235; I. Niculiță, A. Niciu 2013, p. 173-190).

Apariția a numeroase descoperiri de oase umane în complexe de locuire din epocă fierului de la Dunărea de Jos a generat o dezbateră extinsă în literatura arheologică (V. Sîrbu 1994, 1997; S.C. Ailincăi 2008a; 2008b; 2009, p. 76-148; M. Kašuba 2008), acestea fiind identificate în cadrul unor complexe arheologice diferite, de-a lungul secolelor XI-VII a.Chr. (S.C. Ailincăi 2008b, p. 27). Pentru înțelegerea semnificației acestor complexe au fost realizate și analize antropologice ale unor loturi din ce în ce mai numeroase, rezultatele punând într-o lumină nouă semnificația acestor descoperiri (M. Perianu 1993; L.V. Litvinova 1995; S. Cholakov, Y. Yordanov 1997; S.C. Ailincăi *et alii* 2003; A. Varzari *et alii* 2005; S.C. Ailincăi *et alii* 2006; S.C. Ailincăi *et alii* 2007; G. Vasile 2006; S.C. Ailincăi, M. Constantinescu 2008; M. Constantinescu, N. Mirițoiu 2008; M. Kašuba 2008; S.C. Ailincăi 2009, p. 141-144).

◆ Metodologie

Starea de conservare (care estimează procentul în care oasele au fost afectate de agenții naturali din sol, gradul de erodare și exfoliere al suprafeței oaselor) a fost înregistrată utilizând patru scoruri standard (0 = osul nu este prezent pentru observație; 1 = conservare precară, peste 75% din suprafața osului este afectată; 2 = conservare bună, între 50-75% din suprafața osului este afectată; 3 = conservare foarte bună, sub 25% din suprafața osului este afectată) (B. Connell, P. Rauxloh 2003, p. 2; B. Connell 2008, p. 9).

* Institutul de Antropologie „Francisc J. Rainer” București, mihaic2005@yahoo.com

Starea de reprezentare (care înregistrează procentul în care segmentele componente ale oaselor sunt păstrate) și a fost înregistrată utilizând patru scoruri standard (0 = osul nu este prezent pentru observație; 1 = sub 50%; 2 = între 50-75%; 3 = peste 75%) (R.H. Steckel *et alii* 2006, p. 19).

Pentru **determinarea sexului** am utilizat caracterele craniene (J.E. Buikstra, D.H. Uberlaker 1994, p. 19-21) post-craniene (R.H. Steckel *et alii* 2006, p. 19-24), cât și urmele de parturiție (R.H. Steckel *et alii* 2006, p. 25, fig. 23).

Pentru **estimarea vârstei** s-a utilizat uzura dentară (R.H. Steckel *et alii* 2006, p. 18, fig. 14), gradul de sinostoză al suturilor craniene (T.D. White *et alii* 2012, p. 391-393, fig. 18.7-8), evoluția capetelor sternale ale coastelor (S.R. Loth, M.Y. Îșcan 1989, p. 106-118), evoluția simfizelor pubice (T.D. White, P.A. Folkens 2005, p. 374-379, fig. 19.8) și evoluția suprafețelor auriculare (T.D. White, P.A. Folkens 2005, p. 380-383, fig. 19.9). Atunci când indicatorii mai sus menționați lipseau vârsta a fost estimată pe baza trăsăturilor generale (transformări degenerative ale segmentelor scheletice păstrate); apariția osteoartrozei pe marginile corpurilor vertebrale și pe articulații după D.H. Uberlaker (1980, p. 60-62, fig. 77, 81) și resorbția țesutului spongios din epifizele proximale ale humerusurilor și femurelor după Á.G. Acsádi și J. Nemeskéri (1970, p. 122-135, fig. 20, 22).

Identificare și descrierea patologiei osoase s-a realizat pe baza volumului lui D.J. Ortner (2003), fiind înregistrată patologia dentară (carii, abcese, pierderea dinților ante-mortem) și hypoplasia emailului (R.H. Steckel *et alii* 2006, p. 15-16, fig. 10), resorbția osului alveolar, tartrul și localizarea cariilor (D.R. Brothwell 1981, p. 155, fig. 6/12, 14). Au fost înregistrate porozitățile craniene (*cribra orbitalia* și *cribra cranii*) (R.H. Steckel *et alii* 2006, p. 12-14, fig. 8-9), osteoperiostita pentru oasele lungi (R.H. Steckel *et alii* 2006, p. 30-31, fig. 26) și urmele de osteoartroză (R.H. Steckel *et alii* 2006, p. 31-33, fig. 27-29).

Au fost descrise **transformările taphonomice** suferite de schelet după decesul individului (distrugerea oaselor datorată acțiunii animalelor, plantelor și a activităților umane intenționate sau neintenționate din trecut sau prezent) (A.L. Stodder 2008, p. 71-114).

Datele metrice (tab. 2 și 3) au fost prelevate după metodele lui Martin (G. Bräuer 1988, p. 160-232) și J.E. Buikstra, D.H. Uberlaker (1994, p. 74-84). **Statura** a fost calculată prin metoda lui E. Breiting (1937).

◆ Saharna-Dealul Mănăstirii, S. 6, Complex 32, groapa 25, careul VI

Stare de conservare

Stare de conservare foarte bună. Craniul este foarte fragmentat din vechime, rupturile prezintă depuneri semnificative de calcar. Tot din vechime sunt fragmentate mai multe oase: clavicula stângă în treimea laterală a diafizei, ambii omoplați, mai multe arcuri vertebrale (deși cele mai multe au fost fragmentate în cursul cercetării de teren). Humerusul stâng este rupt la nivelul tuberozității deltoidiene și epifiza distală la jumătate, cel drept este de asemenea rupt la nivelul tuberozității deltoidiene, și în partea superioară a metafizei proximale. Radiusul și cubitusul stâng sunt rupte în treimea distală a diafizei, cubitusul stâng este rupt în treimea distală a diafizei, iar radiusul drept este rupt în treimea distală a metafizei, cu exfolierea suprafeței osului și numeroase urme de rădăcini. Ambele coxale și sacrumul, dar și ambele femure (dreptul la nivelul trohanterului mic, iar stângul la nivelul trohanterului mic și în jumătatea distală a diafizei) sunt rupte. Tibiile sunt rupte din vechime în treimea distală a diafizei, iar paroneele (dreptul în două locuri în treimea distală a diafizei iar stângul în trei locuri, două în treimea proximală a diafizei, unul la jumătatea diafizei și unul la nivelul metafizei distale stângi, metatarsianul 3 stânga la nivelul treimii distale). Talusul stâng este rupt aproximativ la jumătate.

Sex și vârstă

Sexul este masculin, iar vârsta este de 35-45 de ani.

Patologie

Dentiția prezintă un abces dentar la M3 maxilar stânga (tab. 1), o resorbție medie a osului alveolar, urme ușoare de tartru și două linii de hipoplazie pe canini și incisivii mandibulari.

Vertebrele coloanei lombare prezintă noduli Schmorl, iar articulațiile prezente sunt afectate ușor de osteoartroză, cu excepția epifizei distale a humerusului stâng și a radiusului și ulnei drepte care prezintă transformări degenerative severe.

În partea anterioară a frontalului, în stânga glabelei, deși lipsește o porțiune însemnată a frontalului și se observă fracturi radiante care se extind pe frontal, peste zona glabelei și spre bosa

frontală stângă (fig. 1), se pot observa urme ale unor fracturi. Nici una din aceste fracturi radiante nu prezintă urme de vindecare, fiind produse perimortem, în acest caz ar putea fi legate de decesul individului sau, ca și rupturile multora din oasele post-craniene, de o eventuală prăbușire a structurii identificate în cursul cercetării arheologice.

Radiusul drept prezintă urmele unei fracturi vindecate a treimii distale a diafizei, oasele fiind parțial aliniate, cu lățirea epifizei și apariția unor exostoze semnificative (16 x 8,5 x 8 mm), mai ales pe fața anterioară a osului, în zona de inserție a mușchiului *pronator quadratus*, și pe fața posterioară a metafizei (11 x 7 x 3 mm) pe zona de inserție a *extensor polycis longus* (fig. 2).

Efecțiunea radiusului a determinat și o deformare semnificativă a epifizei distale a ulnei drepte, procesul stiloid fiind scurtat, iar capul epifizei distale a ulnei are o formă turtită, de ciupercă (fig. 3).

Tibia dreaptă are linia solearului puternic reliefată, cu o creastă proeminentă sub foramenul nutritiv, pe zona de inserție a mușchiului *soleus*, creasta marcată de apariția unor enthesophite. De asemenea, pe marginea medială a diafizei, aproximativ la jumătatea acesteia se observă o exostoza de formă aproximativ ovală (6 x 5 x 2 mm), în jurul căreia se observă și urme vindecate de periostită. Urme de periostită și o ușoară îngroșare a diafizei se observă și pe fibula dreaptă, în treimea proximală a acesteia, pe fața anterioară pe zona de inserție a mușchiului *extensor digitorum longus*.

Ambele tibii prezintă fațete articulare laterale, iar talusurile extensii laterale, rezultat al șederii prelungite în poziție chircită (C.H. Barnett 1954; E.L. Boule 2001).

Tafonomie

Depuneri de calcar apar în toate rupturile din vechime și pe suprafața oaselor, mai pregnant pe humerusul drept. Urme de rădăcini apar mai ales pe oasele membrului superior drept, pe ambele femure, pe tibia și peroneul drept și pe oasele piciorului drept.

Statură

Statura calculată după lungimea maximă a femurului stâng este de 167,76±4,8 cm.

Observații

Printre oasele bazinului s-a identificat și un os de animal de dimensiuni mari.

◆ Concluzii

Fractura vindecată a radiusului drept este probabil rezultatul unui accident, urmare a unei căderi de la înălțime pe membrul respectiv întins, cu încheietura în flexiune dorsală (Tipul Frykman I după K.J. Koval, J.D. Zuckerman 2006, p. 226-230, fig. 22/2,A). Vindecarea fracturii și deformările suferite de epifiza distală a ulnei indică o perioadă îndelungată (câțiva ani), în care individul și-a folosit cu dificultate mâna dreaptă.

Dezvoltarea deosebită a zonei de inserție a mușchilor *soleus* și *extensor digitorum longus* și apariția de enthesophite în aceste zone sunt legate de flexiunea plantară a piciorului, ambii fiind mușchi vitali pentru acțiunile de mers și alergat. Alături de prezența fațetelor articulare suplimentare pe tibie și talus, indică o activitate intensă a individului (mers și ședere în poziție chircită). Aceste urme de activitate intensă sunt indicate și de prezența nodulilor Schmorl la coloana vertebrală și de urmele de osteoartroză care au afectat toate articulațiile. În același timp, prezența urmelor de osteoartroză mai accentuate la epifiza distală a humerusului stâng pot fi legate de o utilizare mai intensă a membrului stâng ca urmare a incapacității individului de a-și folosi la intensitate maximă membrul drept, în urma fracturii de radius descrisă mai sus.

În ceea ce privește fracturile radiante de pe frontal, trebuie remarcat faptul că toate sunt produse perimortem. Pot fi rezultatul unui traumatism cu un obiect contondent care a provocat decesul individului (fapt întărit și de lipsa unei porțiuni însemnate a frontalului în acea zonă). Totuși prezența acestor fracturi poate fi legată și de o eventuală prăbușire a presupusei structurii ridicate în jurul scheletului (I. Niculiță, A. Niciu 2011, p. 225-227, fig. 2-3; 2013, p. 174-175, fig. 2-3), cu atât mai mult cu cât oasele lungi sunt fragmentate post- sau peri- mortem la nivelul diafizelor, probabil tot ca rezultat al distrugerii acestei structurii.

Prezența unor schelete umane în conexiune anatomică în cadrul orizontului hallstattian cu ceramică incizată și imprimată de la Dunărea de Jos nu este singulară, fiind una din modalitățile de tratare a defuncțiilor bine documentate în mai multe situri aparținând unor grupe culturale diferite (S.C. Ailincăi 2008b, p. 22-24; 2009, p. 125-129; M. Kašuba 2008, 106-120). De asemenea, construcția funerară, inventarul, orientarea și modul de depunere al scheletului, deși par ușor „exotice” față de datele cunoscute, nu diferă în mod radical de cel al altor complexe de acest gen publicate până în prezent (S.C. Ailincăi 2008b, p. 24-27).

Semne de violență, produse perimortem (în general produse cu obiecte contondente) sunt menționate și în cazul altor schelete care au beneficiat de analize antropologice atât de sex masculin cât și feminin, spre exemplu la Jurilovca (S.C. Ailincăi *et alii* 2003, p. 314-315), Babadag (S.C. Ailincăi *et alii* 2007, p. 48-49), Niculițel (S.C. Ailincăi 2008a, p. 15; M. Constantinescu, N. Mirițoiu 2008, p. 69-70).

Până în prezent interpretarea acestor descoperiri, din ce în ce mai numeroase prin prisma datelor recente, este dificil de realizat. Interesantă este prezența lor în marea majoritate a stațiunilor cercetate sistematic, cu o varietate de practici funerare în ce privește construcția, inventarul, modul de tratare a scheletelor (depunerea scheletelor în cimitire, depunerea de schelete în conexiune anatomică în așezări, depunerea în gropi a unor părți scheletice sau oase izolate etc.). Varietatea practicilor funerare, pare a fi dublată și de o varietate din punct de vedere demografic, al traumatismelor și afecțiunilor patologice pe care le-au suferit indivizii analizați.

Analizele antropologice ale scheletelor, corelate cu datele arheologice, tot mai numeroase din ultimii ani, sperăm să ajute în viitor la o nuanțare a numeroaselor interpretări date acestor comportamente funerare.

◆ Mulțumiri

Acest articol a fost realizat în cadrul proiectului PNII-ID-PCCE-2011-2-0013, susținut și finanțat de CNCS-UEFISCDI.

◆ Bibliografie

- A.G. Acsádi, J. Nemeskéri
1970 History of Human Life Span and Mortality, Budapest.
- S.C. Ailincăi 2008a The dead among the living in the Babadag settlement from Niculițel-Cornet (Tulcea County Romania), în V. Sârbu, R. Ștefănescu (eds.), *Funerary Practices in Central and Eastern Europe (10th c. BC – 3rd c. AD) Proceedings of the 10th International Colloquium of Funerary Archaeology Tulcea (Dobrudja - Romania)*, 10th-12th of October 2008, Braïla-Brașov, p. 11-30.
- S.C. Ailincăi 2008b The place for the dead in the Early and Middle Iron Age Lower Danube area, în V. Sârbu, D.L. Vaida (eds.), *Funerary practices of the Bronze and Iron Age in Central and South-Eastern Europe, Proceedings of the 9th International Colloquium of Funerary Archaeology*, Bistrița, Romania, May 9th-11th, Cluj-Napoca, p. 9-33.
- S.C. Ailincăi 2009 *Începuturile epocii fierului în Dobrogea*, Teză de doctorat, Iași.
- S.C. Ailincăi *et alii* 2003 S.C. Ailincăi, N. Mirițoiu, A. Soficaru, O groapă cu oseminte umane atribuită culturii Babadag descoperită în nivelul precolonial de la Orgame (com. Jurilovca, jud. Tulcea), *Arheologia Moldovei*, 26, p. 307-324.
- S.C. Ailincăi *et alii* 2006 S. Ailincăi, N. Mirițoiu, A. Soficaru, A pit with human remains attributed to the Babadag culture in pre-colonial level at Orgame, in M. Mănucu-Adameșteanu (ed.), *A la recherche d'une colonie. Actes du Colloque International. 40 ans de recherche archéologiques à Orgamé/Argamum*, Bucarest-Tulcea-Jurilovca, 3-5 Octobre 2005, Bucarest, p. 81-107
- S.C. Ailincăi *et alii* 2007 S.C. Ailincăi, G. Jugănar, A.C. Țârlea, M. Vernescu, Complexe cu oseminte umane descoperite în așezarea din prima epocă a fierului de la Babadag, în *Studia in honorem dr. Florea Costea*, Brașov, p. 46-77.

- S.C. Ailincăi, M. Constantinescu 2008 O groapă cu oseminte umane descoperită în așezarea culturii Babadag de la Enisala-Palanca, în S.C. Ailincăi, C. Micu, F. Mihail (eds.), *Omagiu lui Gavrilă Simion la a 80-a aniversare*, Tulcea, p. 121-131.
- C.H. Barnett 1954 Squatting facets on the European talus, *Journal of Anatomy*, 88, p. 509-513.
- E.L. Boulle 2001 Evolution of Two Human Skeletal Markers of the Squatting Position: A Diachronic Study from Antiquity to the Modern Age, *American Journal of Physical Anthropology*, 115, p. 50-56.
- G. Bräuer 1988 Osteometrie, în R. Knussman, I. Schwidetzky, H. W. Jurgens, G. Ziegelmayer (Hrsg.), *Anthropologie. Handbuch der vergleichenden Biologie des Menschen*, Stuttgart – New York, Band I, p. 160-232.
- E. Breitingner 1937 Zur Berechnung der Körperhöhe aus den langen Gliedmaßenknochen, *Anthropologischer Anzeiger*, 14, p. 249-274.
- D.R. Brothwell 1981 *Digging up bones. The excavation, treatment and study of human skeletal remains*, Oxford University Press, third edition, Oxford.
- J.E. Buikstra, D.H. Uberlaker 1994 *Standards for data collection from human skeletal remains*, Arkansas Archaeological Survey Research Series, 44, Fayetteville.
- S. Cholakov, Y. Yordanov 1997 Anthropological study of osseous remains from the Early Iron Age Tumular necropolis in Sboryanovo, Razgrad District, în T. Stoyanov, *Early Iron Age Necropolis. „Sboryanovo” I*, Sofia, p. 227-239.
- B. Connell 2008 Preservation and archaeological data, în N. Powers (ed.), *Human osteology method statement*, Museum of London, Published online March 2008, p. 9-10.
- B. Connell, P. Rauxloh 2003 A rapid method for recording human skeletal data. Unpublished manuscript. Available at: <http://www.museumoflondon.org.uk> (accesat 12.09.2013).
- M. Constantinescu, N. Mirițoiu 2008 Anthropological analysis of the human osteological remains from Niculițel-Cornet site, in V. Sârbu, R. Ștefănescu (eds.), *Funerary Practices in Central and Eastern Europe (10th c. BC - 3th c. AD)*, Brăila-Brașov, p. 69-83.
- M. Kašuba 2008 Despre depunerile de oseminte umane în așezările hallstattiene timpurii (sec. X-IX a.Chr.) cultura Saharna în regiunea Nistrului de Mijloc (spațiul nord-vest pontic), în S.C. Ailincăi, C. Micu, F. Mihail (eds.), *Omagiu lui Gavrilă Simion la a 80-a aniversare*, Tulcea, p. 106-120.
- K.J. Koval, J.D. Zuckerman 2006 *Handbook of fractures*, 3rd edition, Philadelphia.
- L.V. Litvinova 1995 Antropologičeskij material iz rannegal'statskogo zol'nika citadeli gorodišča Hligeni II, in N.V. Gol'ceva, M. Kašuba, *Glinjeni II. Mnogoslojnyj pamjatnik Srednego Podnestrovia*, Tiraspol, p. 91-99.
- S.R. Loth, M.Y. Îșcan 1989 Morphological assessment of age in the adult: the thoracic region, în M.Y. Îșcan (ed.), *Age Markers in the Human Skeleton*, Springfield, p. 105-135.
- I. Niculiță, A. Niciu 2011 Practici funerare în situl din prima epocă a fierului de la Saharna-Dealul Mănăstirii, *Tyragetia s.n.*, 5 (20), 1, p. 225-235.
- I. Niculiță, A. Niciu 2013 Pratique funéraires dans le site de la première époque du fer de Saharna Dealul Mănăstirii, *Mousaios*, 18, 2013, p. 173-190.
- D.J. Ortner 2003 *Identification of pathological conditions in human skeletal remains*, second edition, San Diego.

- M. Perianu 1993 O „groapă de provizii” Babadag (Hallstatt) cu oseminte umane, *Thraco-Dacica*, 14, 1-2, p. 163-168.
- N. Powers 2008 Age at death estimation, în N. Powers (ed.), *Human osteology method statement*, Museum of London, Published online March 2008, p. 12-14.
- V. Sîrbu 1994 Sacrificii umane si practici funerare insolite în arealul tracic în Hallstatt si La Tène, *Istros*, 7, p. 83-120.
- V. Sîrbu 1997 Sacrifices humains et pratiques funéraires insolites dans l’areal thrace du Hallstatt et La Tène, în *Premier Âge du Fer aux Bouches du Danube et dans les Régions autour de la Mer Noire, Actes du Colloque International*, Septembre 1993, Tulcea, p. 193-221.
- R.H. Steckel *et alii* 2006 R.H. Steckel, C.S. Larsen, P.W. Sciulli, P.L. Walker, *The Global History of Health Project data collection codebook*. Unpublished manuscript. Available at: http://global.sbs.ohio-state.edu/new_docs/Codebook-01-24-11-em.pdf (accesat 15.09.2013).
- A.L. Stodder 2008 Taphonomy and the nature of archaeological assemblages, în M.A. Katzenberg, S.R. Saunders (eds.), *Biological anthropology of the human skeleton*, second edition, New York, p. 71-114.
- D.H. Uberlaker 1980 *Human Skeletal Remains*, Washington.
- G. Vasile 2006 Un schelet incomplet atribuit primei epoci a fierului descoperit la Capidava La Bursuci – studiu antropologic, *Studii de Preistorie*, 3, p. 215-223.
- A. Varzari *et alii* 2005 A. Varzari, D. Pežemskij, O. Larina, Paleoantropologičeskij material pozdnečernolesskogo kompleksa Tatarăuca Nouă XV (predvaritel’noe zaključenie), *Revista Arheologică S.N.*, 1, 1, p. 381-386.
- T.D. White 1991 *Human osteology*, San Diego.
- T.D. White, P.A. Folkens 2005 *The human bone manual*, Elsevier Academic Press.
- T.D. White *et alii* 2012 T.D. White, M.T. Black, P.A. Folkens, *Human osteology*, Third edition, Academic Press.

Sit/Complex	Dinți				
Saharna-Dealul Mănăstirii	PDPE	DEP	DPC	DPPAM	NA
S. 6, C. 32, gr. 25, careul VI	32	15	0	0	1

Tab. 1. Dentiție (PDPE = poziții de dinți erupți permanenți; DEP = dinți erupți permanenți; DPC = dinți permanenți cariati; DPPAM = dinți permanenți pierduți ante-mortem; NA = număr abcese). Dentition NETPO (PDPE) = number of erupted tooth positions observed; EPTO (DEP) = number of erupted permanent teeth observed; PTCL (DPC) = number of permanent teeth with carious lesions; NELPM (DPPAM) = number of teeth lost premortem; NAO (NA) = number of abscesses observed.

Dimensiuni și indici		Dimensiuni și indici		Dimensiuni și indici	
1. Lung. max. (g-op)	200	65. Lăț. mandib. (kdl-kdl)	115.5	70. Înălțime ram mandibular	62
3. Lung. calotei (g-l)	192	66. Lăț. goniacă (go-go)	95	71a. Lăț. min. ram dr.	34
8. Lăț. max (eu-eu)	135	68. Lungime mandibulă	81,5	71a. Lăț. min. ram stg.	34
*19a. Înălț. mastoidă dr.	30,5	69(1). Înălț. corp f.m. dr.	30	71(1). Lăț. incis. mandib. dr.	40
29. Coarda frontală (n-b)	113	69(1). Înălț. corp f.m. stg.	29	71(1). Lăț. incis. mandib. stg.	41
30. Coarda parietală (b-l)	127	69(3). Gros. corp f.m. dr.	10	79. Unghi mandibular	125
		69(3). Gros. corp f.m. stg.	11	I. 1. I. cranian orizontal (8:1)	67,5

Tab. 2. Măsurători schelet cranian.
The skull measurements.

Analiza antropologică a unui schelet din prima epocă a fierului de la Saharna (Rep. Moldova)

Dimensiuni și indici			Dimensiuni și indici			Dimensiuni și indici		
	dr.	stg.		dr.	stg.		dr.	stg.
Claviculă			Ulna			Patella		
1. Lung. max.	-	148	1. Lung. max.	-	-	1. Înălț. max.	41,5	-
4. Diam. vert.	10	10	*2a. Lung. fiz.	240	-	2. Lăț. maximă	43,5	-
5. Diam. sag.	14	13	3. Perim. minim	34,5	35	3. Gros. max.	20	-
4:5. I. secț.	71,34	76,92	11. Diam. dorso-volar	13	12	1:2. I. înăl.-lăț.	95,40	-
Omoplat			Sacrum			Tibie		
12. Lung. cav. glen.	-	36	12. Diam. transv.	17	16	1a. Lung. medială	375	-
13. Lăț. cav. glen.	-	25	11:12 I. secțiune	76,47	75	3. Lăț. epif. prox.	75	76
13:12. I. cav. glen.	-	69,44	Coxal			6. Lăț. epifizei distale	52	-
Humerus			Femur			8. Diam. sagital la mijl.	31	32
1. Lung. max.	317	319	1. Înălț. coxal		221,5	8a. Diam. sag. la f. n.	37,5	38
4. Lăț. epif. inf.	62	-	Peroneu			9. Diam. transv. la mijl.	20	20,5
5. Diam. max. la mijl.	21	20	1. Lung. max.	446,5	446,5	9a. Diam. transv. la f. n.	21	21
6. D. min. la mijl.	19	18	2. Lung. poziție naturală	444	446	10a. Perim. la f. n.	93	95
9. D. transv. max. cap	-	47	6. Diam. sagit. mijl.	29	29	9:8. I. secțiunii diafizei	64,52	64,06
10. D. sag. max. cap.	-	43	7. Diam. transv. mijl.	27	27	9a:8a. I. cnemic	56	55,26
6:5. I. secț. diaf.	90,48	90	8. Perim. mijl.	90	93	Radius		
9:10. I. secț. cap	-	109,30	9. Diam. transv. subtroh.	36	35	1. Lung. max.	360	-
Radius			10. Diam. sagit. subtroh.	22	24	2. Diam. max. la mijl.	14,5	15
1. Lung. max.	-	238	18. D. vert. cap.	48	48	3. Diam. min. la mijl.	12	10
4. Diam. transv.	17	16	19. Diam. transv. cap	47	47	3:2. I. diafiză	82,76	-
5. Diam. sag.	11	12,5	21. Lăț. epif. dist.	81,5	81	Calcaneu		
5(6). Lăț. epif. dist.	-	35	6+7:2. I. robustitate	12,61	12,55	1. Lung. max.	76,5	75
5:4. I. secț. diaf.	64,71	78,13	6:7. I. secț. mijl.	107,41	107,41	2. Lăț. la mijloc.	39	-
			10:9. I. secț. sup.	61,11	68,57	2:1. I. lung.-lăț.	50,98	-

Tab. 3. Măsurători schelet post-cranian (patologie).
The measurements of post-cranian skeleton (pathology).

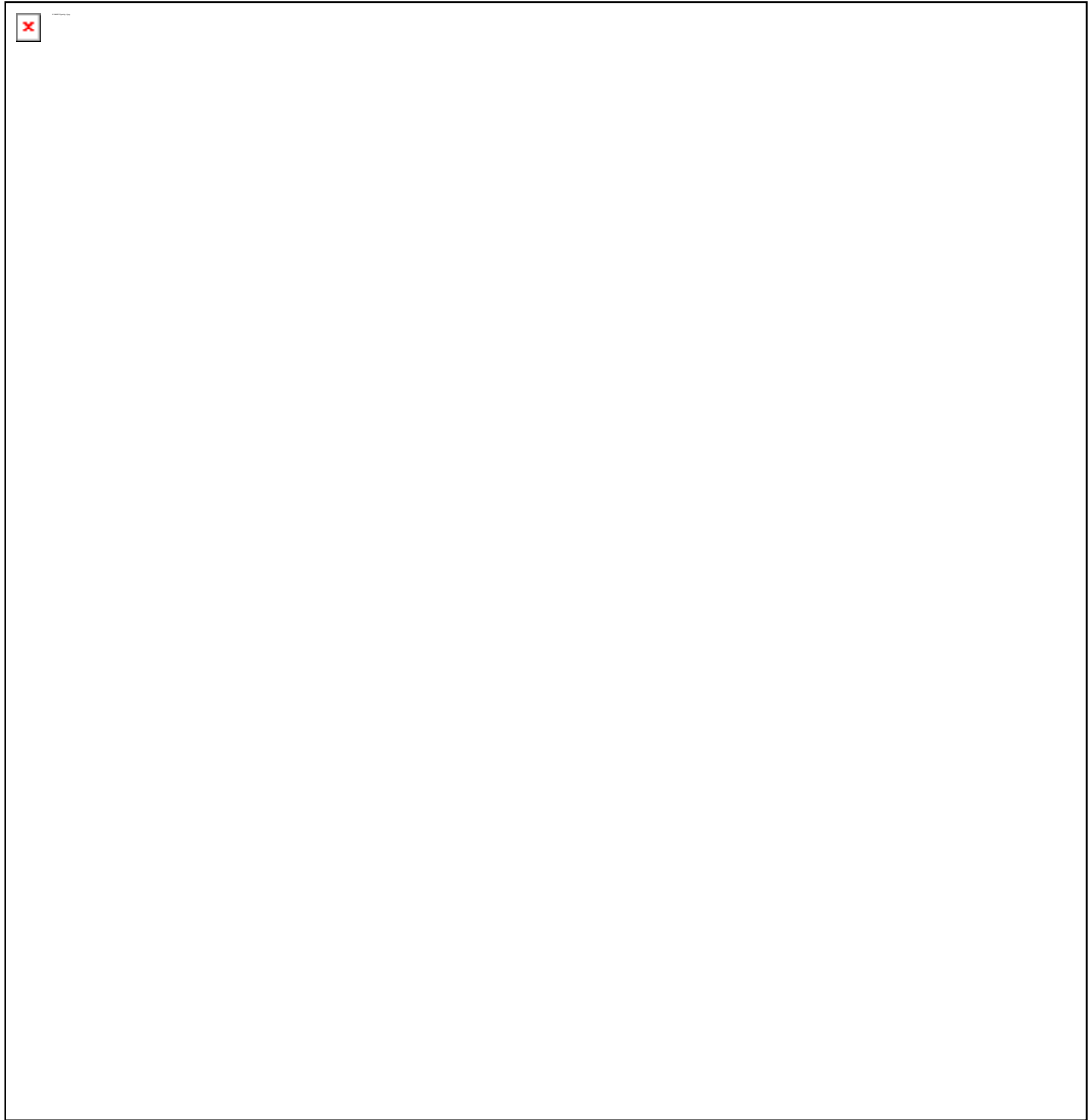


Fig. 1. Craniul. Fracturi radiante și lipsuri ale frontalului.
Skull. Radiating fractures and absence of a portion of the bone.



Fig. 2. Treimea distală a radiusului drept.
Distal third of the right radius.



Fig. 3. Treimea distală a ulnei drepte.
Distal third of the right ulna.